

## Решение внутренней задачи о возникновении естественной конвекции жидкости

© А.М. Пылаев

МГТУ им. Н.Э. Баумана, Москва, 105005, Россия

*Учтены потребности расчета теплового режима приборных отсеков космических аппаратов в условиях слабой гравитации. Представлены результаты анализа конвективного движения вязкой теплопроводной жидкости или газа, возникающего в полостях с осями симметрии, нормальными к ускорению массовых сил (и оси  $y$ ) или коллинеарными ему, а именно в полостях с эллиптическими сечениями — горизонтально-цилиндрических или в виде тел вращения соответственно. Использована программа для ПК с реализацией модификаций метода Бубнова — Галёркина. Выявлено хорошее согласование результатов расчета с известными данными.*

**Ключевые слова:** ряды Фурье, бесконечные алгебраические системы, Буссинеск, Рэлея, линейные пространственные возмущения, изолинии.

Информация о критических движениях в замкнутых полостях необходима, в частности, при проведении расчетов теплового режима приборных отсеков космических аппаратов в условиях слабой гравитации. При этом требования специалистов часто противоречивы. Если для роста кристаллов и исследования физических свойств материалов необходимо предельное ослабление конвекции, то для ряда технических систем, например баков длительного хранения низкотемпературных компонентов топлива, желателен перемешивание [1].

Существенно также следующее: возникающие критические движения представляют естественный полный базис для разложения любого конвективного движения в полости [2]. Это обстоятельство может быть полезно при итерационном аналитическом решении нелинейных задач.

Интересующая проблема — специфический частный случай явления конвективной устойчивости [3]. Известно, что применение численного метода установления стационарного режима затруднительно (время установления по мере приближения к порогу устойчивости увеличивается). К тому же этот подход требует повышенного внимания к получаемым результатам. Есть публикации, в которых в роли  $Ra_{кр \min}$  — минимумов критических чисел Рэлея  $Ra_{кр}$  — приводятся значения  $Ra_{кр}$ , соответствующие второй моде движений;

первая же мода была не замечена и пропущена авторами, по-видимому, вследствие малой интенсивности конвективного теплообмена. Поэтому повышен интерес к аналитическим возможностям, более удобным как в получении требуемой информации, так и в ее обработке.

Разработаны методика и программа решения задачи о нарушении равновесия в полостях с несложным математическим описанием границы и с осями симметрии, нормальными к ускорению массовых сил (и оси  $y$ ) или коллинеарными ему. При решении применена линейная теория устойчивости к уравнениям конвекции в приближении Буссинеска [3] с подстановкой значений  $\{W, T_0 + T_1, p_0 + p_1\}$  для скорости (м/с), температуры (К) и давления (Па) и с приведением к безразмерному виду. Для расстояния, температуры, скорости, времени и давления выбраны масштабы  $X, \theta_0 X, a/X, X^2/(va)^{0.5}, \nu\rho_0 a/X^2$  последовательно. Здесь и далее принято:  $X$  — габаритный размер (вдоль горизонтальной оси, м);  $\theta$  — равновесный градиент температуры, К/м;  $a$  — температуропроводность, м<sup>2</sup>/с;  $\nu$  — кинематическая вязкость, (м<sup>2</sup>/с;  $\rho$  — плотность, кг/м<sup>3</sup>;  $\alpha$  — коэффициент теплоотдачи, Вт/(м<sup>2</sup>·К);  $\lambda$  — теплопроводность, Вт/(м·К); индексы «0» или «1» соответствуют равновесным значениям и возмущениям. Предусмотрены случаи периодической модуляции последних или ускорения поля массовых сил  $g, \text{ м/с}^2$ :

$$g = g_0(1 + \chi \sin \Omega t); \quad \theta = \theta_0(1 + \Gamma \sin \Omega t), \quad (1)$$

где  $\chi, \Omega$  и  $\Gamma$  — безразмерный параметр модуляции, относительная амплитуда и безразмерная частота.

Для анализа трехмерных течений из уравнений исключены возмущение давления  $p_1$  и горизонтальные компоненты скорости  $W_x$  и  $W_z$  применением к векторному уравнению движения операции  $\text{rot rot}$  и проецирования на ось  $y$  [3]. Для вертикальной компоненты  $W_y$  и возмущения температуры  $T_1$  использована подстановка:

$$T_1/\vartheta = W_y/w = \cos n\varphi, \quad w = w(y, x, t), \quad \vartheta = \vartheta(y, x, t), \quad (2)$$

где  $n = 0, 1, 2$  — волновое число. В итоге получены два уравнения (в частных производных до 4-го порядка) для амплитуд  $\{F\} = \{w, \vartheta\}$ :

$$\Delta\Delta w + \text{Ra} \cdot \Delta_1 \vartheta (1 + \chi \sin \Omega t) = \frac{\partial(\Delta w)}{\partial t} \text{Pr}^{-0.5}, \quad (3)$$

$$\Delta\vartheta + (1 + \Gamma \sin \Omega t)w = \frac{\partial\vartheta}{\partial t} \text{Pr}^{0.5}; \quad \Delta_1\varphi = \frac{\partial^2\varphi}{\partial x^2} - n^2\varphi; \quad \Delta\varphi = \Delta_1\varphi + \frac{\partial^2\varphi}{\partial y^2}. \quad (4)$$

Здесь  $\text{Pr}$  — число Прандтля; в (2) и (4)  $\varphi$  — общее обозначение величин или их комплексов. В частности, в (2):  $\varphi = z$  или  $\varphi = \Phi$  в случаях

горизонтально-цилиндрических или эллипсоидных полостей; для последних уравнения (3) и (4) использовались в цилиндрических координатах с полярным углом  $\Phi$  в плоскости, нормальной к оси  $y$ . При постоянных  $g$  и  $\theta$  правые части в (3) и слева в (4) принимались равными нулю. Результаты для полостей с плоскими границами представлены в работе [4]. В данной же работе рассматривались области решения внутри поверхностей

$$(x/X - \underline{E})^2 + (y/Y - 1)^2 = 1; \quad x \in [0; X(1 + \underline{E})].$$

Здесь  $Y$  и  $X = X/2$  — вертикальная и горизонтальная полуоси;  $\underline{E} = 1$  или  $\underline{E} = 0$  для цилиндров или эллипсоидов соответственно. При этом использованы следующие условия:

$$\frac{\partial \varphi}{\partial x} = 0, \quad \varphi \in \{w, \vartheta\} \quad \text{или} \quad \left( \frac{\partial \vartheta}{\partial n} \right)^{\gamma-1} \vartheta^{2-\gamma} = w = \frac{\partial w}{\partial n} = 0 \quad (5)$$

на осях вращения эллипсоидов ( $x = 0$ ) или на всех внешних границах полостей. В (5)  $\gamma$  — род условий для температуры ( $\gamma \in \{1; 2\}$ );  $n$  — геометрическая нормаль к граничной поверхности (соответствующее условие получено с использованием уравнения неразрывности).

Основная цель анализа — отыскание действительных значений  $Ra > 0$  (собственных чисел), обеспечивающих нетривиальное решение  $\{w, \vartheta\}$  для системы (3)-(5). С их существованием и связывают неустойчивость равновесия жидкости. Собственные функции  $\{w, \vartheta\}$  целесообразно искать в виде линейных суперпозиций  $S$  базисных функций, удовлетворяющих граничным условиям. При удачном выборе базиса хорошие результаты получаются уже при сравнительно небольшом числе  $S$ , но в общем случае с конечным  $S$  применение метода приводит лишь к принципиально приближенному решению. Здесь использованы разложения типа

$$\begin{aligned} w &= \sum_{m=0}^M \sum_{l=1}^L \sum_{n=1}^N (A_{\psi} \eta_m + C_{\psi} \zeta_m) \omega f_4 \Pi_w, \quad \psi = mln, \quad (M, L, N \rightarrow \infty); \\ \vartheta &= \sum_{m=0}^M \sum_{l=1}^L \sum_{n=1}^N (B_{\psi} \eta_m + D_{\psi} \zeta_m) \omega f_2 \Pi_{\vartheta}; \\ \omega &= \sin \pi l x / X \sin \pi l y; \quad f_{\varphi} = 1 / (l^{\varphi} + n^{\varphi}); \\ \eta_m &= \cos m \Omega t; \quad \zeta_m = \sin m \Omega t. \end{aligned} \quad (6)$$

Функциональные коэффициенты  $\Pi_w, \Pi_{\vartheta}$ , используемые для выполнения граничных условий, зависят от координат и в общем случае от  $\{l, n\}$ .

Подстановка (6) в уравнения (3) и (4), дифференцирование и переразложение выражений в левых частях уравнений приводили к ря-

дам использованного типа, но с гораздо более сложной структурой коэффициентов. Наконец, после приравнивания таких коэффициентов их значениям в правых частях (нулевым) относительно  $\{A_\Psi, C_\Psi\}$ ,  $\{B_\Psi, D_\Psi\}$  получались бесконечные системы уравнений, для которых была доказана возможность редукции [5]. Таким образом, решение поставленной задачи было сведено к анализу определителей  $\Theta(\text{Ra})$  конечного, хотя и достаточно большого, порядка. Значения таких определителей, в силу нетривиальности решения обращаемых в нуль при искомым  $\text{Ra}$ , вычислялись с привлечением внешней памяти ПК — с последовательным исключением групп переменных, с применением обращения матриц;  $\Theta(\text{Ra})$  — сложная функция, часто с большим диапазоном абсолютных значений в пределах даже весьма узкого интервала изменения ее знака. Функции  $w$  и  $\vartheta$  также чувствительны к изменению  $\text{Ra}$ , но в меньшей степени.

Основные результаты расчетов (при  $\Omega = 0$  в (1)) представлены в табл. 1-4 и на рис. 1, 2. Масштаб расстояния  $X$  в выражениях  $\{\text{Ra}_{\text{кр}}\}$  — всегда максимальный размер по горизонтали. При этом множества значений  $\{v\} = \{1 \dots 6\}$   $\{u\} = \{1 \dots u_{\text{max}}\}$  применены для нумерации либо строк и столбцов в таблицах, либо кривых и точек на рисунках. С целью компактности пояснений для  $\{\text{Ra}_{\text{кр}}\}$  используются обозначения с четырьмя аргументами — индексами типа  $\text{Ra}_{nr\gamma}$  или  $\text{Ra}_{sr\gamma}$ . Индекс  $p$  — характеристика полости, убывающая с ростом  $Y/X$  в случаях с однотипной геометрией; здесь значения  $p = 1 \dots 3$  последовательно соответствуют величинам  $Y/X \in \{2; 1; 0,5\}$  как для цилиндров (см. рис. 1), так и для эллипсоидов (см. рис. 2). Индекс  $\gamma \in \{1; 2\}$  отмечает род граничных условий для  $T$ ;  $r \in \{1 \dots r_{\text{max}}\}$  — порядковый (по возрастанию) номер  $\text{Ra}_{\text{кр}}$  при выбранных  $p$  и  $\gamma$ ; надежнее и практически более интересны значения  $\text{Ra}_{\text{кр}}$  при  $r \leq 2 \dots 3$ . Расчеты проводились при  $\underline{n} \in \{0; 1; 2\}$  (см. формулу (2)), поэтому любому конкретному набору  $\{p, r, \gamma\}$  соответствуют три значения  $\{\text{Ra}_{\text{кр}}\}$ . Индексы  $s \in \{1; 2; 3\}$  без черты снизу в отличие от значений  $\{\underline{n}\}$  в записанном порядке относятся к меньшему, промежуточному и большему из этих значений. В последнем случае используется обозначение типа  $\underline{n}_{sr\gamma}$  для волнового числа, при котором получено конкретное значение  $\text{Ra}_{sr\gamma}$ . Цифры или буквы в индексах могут разделяться запятыми.

В табл. 1 даны значения  $\{\text{Ra}_{nr2\gamma}\}$ , т. е. для круглоцилиндрических полостей. При этом

$$0 \leq \underline{n} = v - 1 \leq 2, \gamma = 2; \quad \underline{n} = v - 4, \gamma = 1, \quad v \in \{4 \dots 6\}; \quad r = u \leq r_{\text{max}} = 6.$$

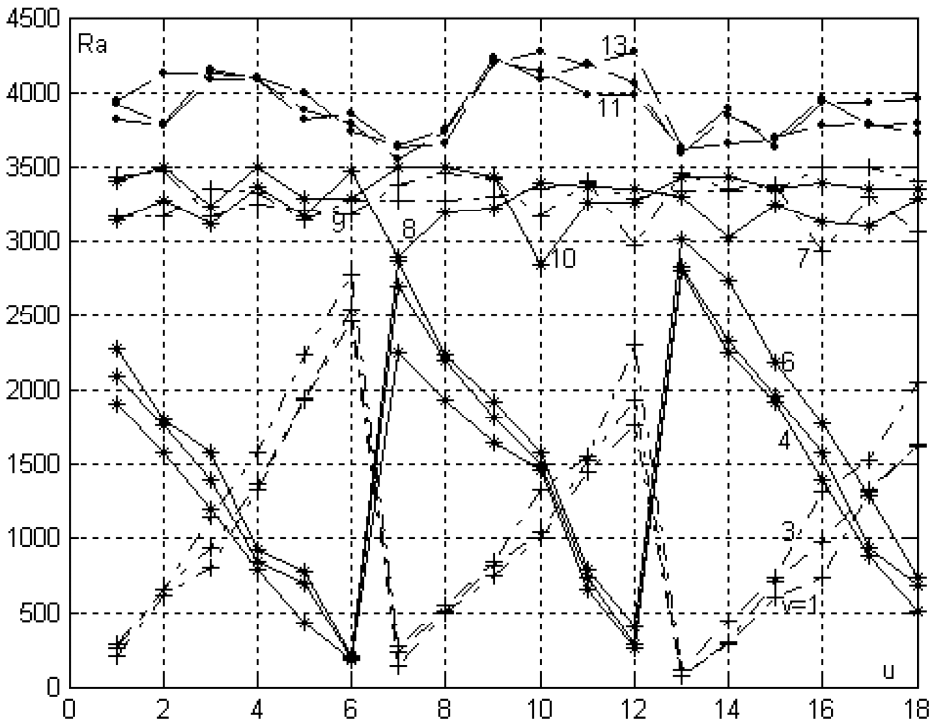
Дополнительно к данным табл. 1 в продолжение 1-й и 4-й строк получены значения  $\text{Ra}_{0722} = 2\ 245$  и  $\text{Ra}_{0721} = 3\ 065$ . Близкие при  $\gamma = 2$ ,

$\eta = 0$  (1-я строка) значения получили Е.М. Жуховицкий [6]: (408,2; с погрешностью до 14 %: 743; 3 258; 3 291) и М. Sherman [7]: (406,9). Результаты Е.М. Жуховицкого при  $\gamma = 1$  (4-я строка) с авторской оценкой погрешности 1,4 %: (135,2; 561,9; 1 355; 2 288).

Таблица 1

**Значения  $Ra_{кр}$  для течений в горизонтальных круглоцилиндрических полостях**

$\gamma$	$\nu$	Значение $Ra_{кр}$ при $r$					
		1	2	3	4	5	6
2	1	133,4	545,6	746,6	1 326,1	1 540,6	1 763,1
	2	233,3	500,5	806,0	1 037,3	1 443,6	2 299,0
	3	264,1	494,5	836,6	992,8	1 525,3	1 931,6
1	4	402,4	731,6	1 448,7	1 813,1	2 196,9	2 855,6
	5	649,4	1 494,2	1 632,4	1 921,6	2 239,6	3 049,1
	6	282,0	783,4	1 566,0	1 910,6	2 249,1	2 695,7



**Рис. 1.** Значения  $\{Ra_{кр}\}$  для горизонтально-цилиндрических полостей при  $Y/X \in \{2; 1; 0,5\}$ . Кривые с  $\nu \in \{1...3; 7; 9\}$  получены при  $\gamma = 2$ , кривые с  $\nu \in \{4...6; 8; 10\}$  — при  $\gamma = 1$  с поворотом относительно центральной вертикали, кривые с  $\nu = 11...13$  — разности между значениями при  $\gamma = 1$  и  $\gamma = 2$

На рис. 1 приведены результаты расчета значений  $\{Ra_{кр}\}$  для различных вариантов цилиндрических полостей. Зависимости  $\{Ra_{кр}(u)\}$

представлены кривыми с  $v \in \{1...3; 7; 9; 11...13\}$  всегда с увеличением  $p$  и  $r$  (в пределах каждого из интервалов с  $p = 1...3$ ) в сторону роста  $u$ , а также кривыми с  $v \in \{4...6; 8; 10\}$  с перестановкой относительно вертикали  $u = u_{\max}/2$ . Здесь

$$0 < r \leq R = r_{\max}, r = u - (p - 1)R \text{ или } r = u + (2 + 1,5R)p - (1 + 4,5R) \quad (7)$$

в 1-м и во 2-м случаях соответственно ( $r_{\max} = 6$ ). При построении кривых как с  $v \in \{1...3\}$ , так и с  $v \in \{4...6\}$  использованы данные для  $s = 1...3$  последовательно, т. е. с возрастанием  $Ra_{кр}$  вместе с  $v$  при каждом из  $\{u\}$ .

В буквенной записи выражений  $\{Ra_{кр}\}$  допустимо сохранять только изменяющиеся индексы. В частности, понятны обозначения функций

$$G = Ra_{\gamma} - Ra_{\gamma+1}, \gamma = 1; F = f + Ra_{*}, f = Ra_s - Ra_{s+2}, s = 1, Ra_{*} = 3\ 500;$$

$$K(r) = k + Ra_{*}, k = Ra_{s, r-1} - Ra_{s-2, r}, s = 3, r = 2...6; K(0) = Ra_{*}, \quad (8)$$

представленных кривыми с  $v \in \{11...13\}$  для  $s = 1...3$  (последовательно), с  $v = 7, 8$  и с  $v = 9, 10$  соответственно. Справедливо следующее:

$$\varphi_{\min} \leq \varphi \leq 0, \varphi \in \{f, k\}; G > 0;$$

$$(f, k)_{\min} \in \{(-616; -665), \gamma = 1; (-568; -358), \gamma = 2\}. \quad (9)$$

В (9) неравенства для  $\{f\}$ , разностей между минимальным и максимальным значениями при любых совпадающих наборах  $(r, p, \gamma)$ , — следствие определения. Неравенства для  $\{G, k\}$  понятны из рис. 1. Большее из двух значений  $\{Ra_{кр}\}$  с одинаковыми группами индексов  $(s, r, p)$  всегда получается при граничных условиях 1-го рода (см. рис. 1). Установлено, что из двух соседних по возрастанию групп  $\{Ra_{кр}\}$  с  $n = 0...2$  даже большее значение ( $s = 3$ ) из 1-й группы не превышает меньшего ( $s = 1$ ) из 2-й группы. На рис. 1 заметно (и расчеты подтверждают) следующее:

$$Ra_p \geq Ra_{p+1} \geq Ra_{p+2}, p = 1, (s, r, \gamma) = \text{idem}. \quad (10)$$

Запись (10) означает, что большее из двух значений  $Ra_{кр}$  — при совпадении граничных условий ( $\gamma$ ), порядковых номеров  $r$  (по возрастанию), а также значений  $s$ , т. е. вместе самых больших, малых или промежуточных по значению на своих вертикалях (при различии  $u$ ) — соответствует большему значению  $Y/X$  (меньшему  $p$ ).

В табл. 2 приведены значения  $\{n_{srpy}\}$ , соответствующие  $\{Ra_{srpy}\}$  на рис. 1. Из сопоставления полученных результатов следует, что исходные возмущения равновесия жидкости в горизонтально-

цилиндрических полостях более вероятны при волновых числах в (2)  $\underline{n} = \{0; 0; 1\}$ , если  $\gamma = 2$  ( $\nu = 1$ ), или  $\underline{n} = \{2; 1; 2\}$ , если  $\gamma = 1$  ( $\nu = 4$ ), при  $Y/X \in \{2; 1; 0,5\}$ ; в обоих случаях  $u \in \{1; 7; 13\}$ .

Таблица 2

**Волновые числа  $\underline{n}$  возмущений в горизонтально-цилиндрических полостях при значениях  $\{Ra_{кр}\}$  на рис. 1**

$\nu$	Значение $\underline{n}$ при $u$																	
	1	2	3	4	5	6	7	8	9	10	11	12	13	14	15	16	17	18
1	0	1	0	1	1	2	0	2	0	0	1	0	1	1	2	2	1	1
2	1	0	2	0	2	1	1	1	1	2	2	2	2	2	1	1	2	2
3	2	2	1	2	0	0	2	0	2	1	0	1	0	0	0	0	0	0
4	2	2	0	2	2	2	1	1	0	1	1	1	2	1	2	1	1	1
5	0	0	2	1	0	0	2	0	1	0	2	2	0	2	1	0	0	0
6	1	1	1	0	1	1	0	2	2	2	0	0	1	0	0	2	2	2

Таблица 3

**Значения  $Ra_{кр}$  для течений в шаровых полостях**

$\gamma$	$\nu$	Значение $Ra_{кр}$ при $r$				
		1	2	3	4	5
2	1	476,4	625,1	1 076,2	1 428,5	2 328,1
	2	446,6	836,4	1 104,8	1 745,0	2 036,6
	3	226,7	785,7	989,1	2 111,2	2 638,4
1	4	945,2	1 317,5	2 018,3	3 024,8	3 585,4
	5	763,7	1 242,9	1 677,0	2 454,6	2 816,8
	6	597,3	1 164,5	1 551,6	2 286,6	2 994,4

В табл. 3 представлены результаты для возмущений в шаровых полостях при  $r_{max} = 5$ . В работе [8] для аппроксимации скорости  $v_y$  использованы полиномы вида

$$v_y = (1 - x^2 - y^2 - z^2) \sum_{r,s,m} C_{rsm} x^r y^s z^m$$

без строгого удовлетворения уравнениям движения, но с хорошей физической интерпретацией. При этом  $\{Ra_{кр}\} \in \{254,8; 798,3; 952,6; 1 996; 3 167,2\}$  для  $\lambda = \infty$  ( $\gamma = 2$ ) и  $\{Ra_{кр}\} \in \{936,5; 1 113; 2 013; 3 974,6; 5 032\}$  для  $\lambda = 0$ . Согласно [9],  $Ra_{кр \min} = 745,9$ . В работе [10] для шаровой полости, заполненной водой и окруженной массивом из плексигласа ( $\lambda = 2$  Вт/(м·К)), экспериментально получено  $Ra_{кр \min} = 350$  с погрешностью менее 10%. Эти результаты качественно согласуются с представленными в табл. 3.

В табл. 4 и на рис. 2 значения  $\{Ra_{кр}\}$  для эллипсоидов вращения с  $Y/X \in \{2; 1; 0,5\}$ ,  $p = 1...3$  представлены по аналогии с данными

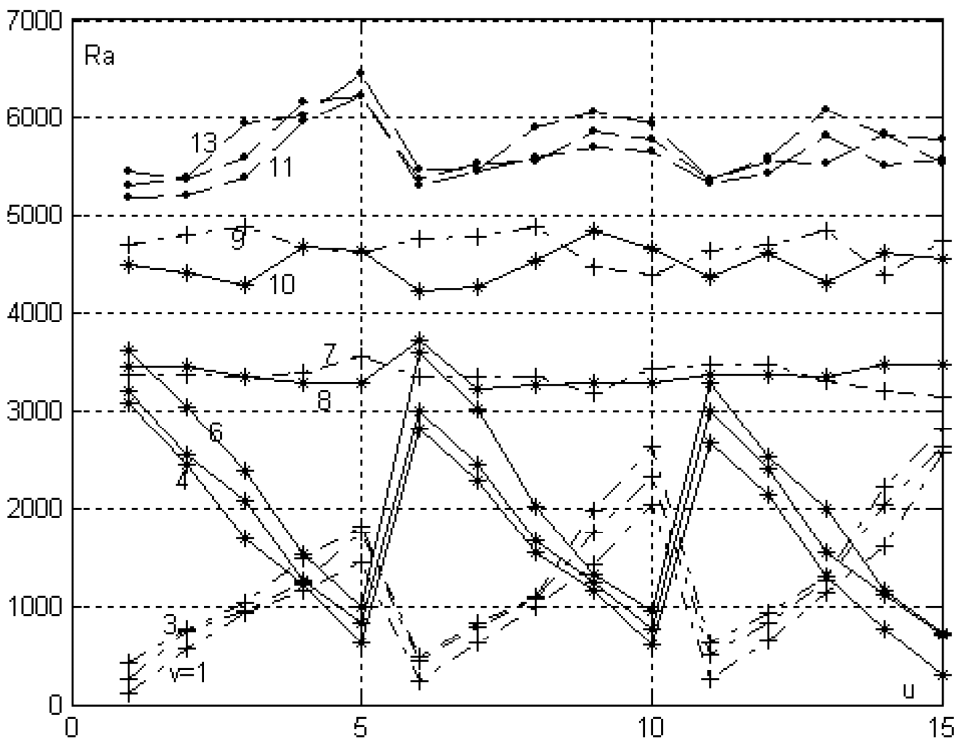
табл. 3 и рис. 1 для горизонтальных цилиндров. Справедливы как обозначения (7), (8), так и результаты (9), но при  $r_{\max} = 5$ ;  $Ra_* = 5\ 000$ ;  $(f, k)_{\min} \in \{(-769; -1\ 768), \gamma = 1; (-1\ 743; -1\ 848), \gamma = 2\}$ .

Понятно (см. табл. 4), что исходные возмущения равновесия жидкости в эллипсоидах вращения с  $Y/X \in \{2; 1; 0,5\}$  более вероятны при волновых числах в (2)  $\underline{n} = 2$ .

Таблица 4

**Волновые числа  $\underline{n}$  возмущений в эллипсоидных полостях при значениях  $\{Ra_{кр}\}$  на рис. 2**

$\nu$	Значение $\underline{n}$ при $u$														
	1	2	3	4	5	6	7	8	9	10	11	12	13	14	15
1	2	0	0	0	0	2	0	2	0	1	2	0	0	0	0
2	1	1	2	2	2	1	2	0	1	0	0	2	2	1	1
3	0	2	1	1	1	0	1	1	2	2	1	1	1	2	2
4	2	1	1	2	1	2	2	2	2	1	2	2	1	2	2
5	1	2	2	1	2	1	1	1	1	2	1	1	2	1	1
6	0	0	0	0	1	0	0	0	0	0	0	0	0	0	0



**Рис. 2.** Значения  $\{Ra_{кр}\}$  для полостей в виде эллипсоидов вращения при  $Y/X \in \{2; 1; 0,5\}$ . Кривые с  $\nu \in \{1...3; 7; 9\}$  получены при  $\gamma = 2$ , кривые с  $\nu \in \{4...6; 8; 10\}$  — при  $\gamma = 1$  с поворотом относительно центральной вертикали, кривые с  $\nu = 11...13$  — разности между значениями при  $\gamma = 1$  и  $\gamma = 2$

Из рис. 2 в отличие от рис. 1 видно, что соотношения типа (10) теперь выполняются с изменением знака неравенств. Получается, что увеличение  $Y/X$  в горизонтальных цилиндрах приводит к повышению (возрастание  $\{Ra_{кр}\}$  при  $(s, r, \gamma) = \text{idem}$ ), а в телах вращения — к снижению устойчивости равновесия жидкости.

В работе [11] выполнение (9) для  $G$  и рост  $\{Ra_{кр}\}$  замечены при  $\underline{n} = 0$  как вместе с  $Y/X \in \{5; 2; 1; 0,5\}$  для полостей с сечениями в виде внутренней части эллипса, ограниченной вертикалями через середины горизонтальных полуосей, так и вместе с  $Y = h \in \{50; 20; 8; 4; 2; 1; 0,5; 0,1; 0,05\}$  для полостей (единичной ширины  $l$ ) с прямоугольными сечениями, т. е. для «внутренностей» эллиптических цилиндров с полуосью  $X \rightarrow \infty$ .

Известно [3], что при выполнении (9) для  $G$  наблюдается снижение при  $\underline{n} = 0 \dots 2$ ,  $(s, r, \gamma) = \text{idem}$  с ростом высоты  $h$  вертикальных цилиндров диаметром  $l = 2X$ , т. е. «внутренностей» эллипсоидов вращения с полуосью  $Y \rightarrow \infty$ . Обобщая приведенные результаты, можно предположить, что при  $(n, s, r, \gamma) = \text{idem}$  в широком диапазоне изменения отношения  $h/l$  (высоты сечения к его ширине) справедливо следующее: с увеличением отношения  $h/l$  значение  $\{Ra_{кр}\}$  для всех горизонтально-эллиптических полостей (и их симметричных «внутренностей») с полуосью  $0 < X < \infty$  возрастает, а для всех полостей в виде эллипсоидов вращения с  $0 < Y < \infty$  — уменьшается; при этом можно ожидать и неизменного выполнения (9) для  $G$  и  $k$ .

При проведении расчетов получены также интересные сведения по распределению скоростей и температур, по картинам изолиний для них.

Таким образом, разработаны методика и программа аналитического решения задачи о возникновении естественной конвекции в полостях с несложным математическим описанием границы и с осями симметрии, нормальными к ускорению массовых сил (и оси  $y$ ) или коллинеарными ему. Приведены результаты расчетов для полостей с эллиптическими сечениями (горизонтально-цилиндрических или в виде тел вращения) при отношении полуосей  $Y/X \in \{2; 1; 0,5\}$  и при возмущениях с волновыми числами  $\underline{n} = 0, 1, 2$ . Найденные значения  $\{Ra_{кр}\}$  для шаровых и круглоцилиндрических полостей согласуются с известными литературными данными. Из анализа всей полученной информации следует, что исходные возмущения равновесия жидкости в эллипсоидах вращения более вероятны при волновом числе  $\underline{n} = 2$  во всех случаях, а в горизонтально-цилиндрических полостях — при  $\underline{n} = \{0; 0; 1\}$ , если  $\gamma = 2$  (граничные условия 2-го рода), или  $\underline{n} = \{2; 1; 2\}$ , если  $\gamma = 1$ , при  $Y/X \in \{2; 1; 0,5\}$  соответственно.

Выявлены три группы соотношений во множестве  $\{Ra_{кр}\}$ . Во-первых, из двух значений  $\{Ra_{кр}\}$  большее всегда получается в случае идеально теплопроводной границы (при идентичности всех остальных условий сравнения). Во-вторых, из двух соседних по возрастанию групп  $\{Ra_{кр}\}$  с  $n = 0, 1, 2$  даже большее значение из 1-й группы не превышает меньшего из 2-й группы. И в-третьих, в полостях с эллиптическими сечениями при  $Y/X \in \{2; 1; 0,5\}$  увеличение  $Y/X$  приводит к повышению (возрастание  $\{Ra_{кр}\}$  при идентичности других условий сравнения) или к снижению устойчивости равновесия жидкости в горизонтальных цилиндрах и в телах вращения соответственно. Высказано предположение о выполнимости этих соотношений в широком диапазоне изменения характерных размеров как для всех горизонтально-эллиптических полостей (вместе с их симметричными внутренними частями), так и для всех эллипсоидов вращения; его обоснование, конечно, требует дополнительной информации.

Сделан вывод о надежности и эффективности использованных программ для ПК.

## ЛИТЕРАТУРА

- [1] Полежаев В.И., Сазонов В.В. *Механика невесомости и гравитационно-чувствительные системы: Аннотации докл. науч.-исслед. сем. ИПМ РАН*. Препринт. Москва, 2009, № 898, 36 с.
- [2] Уховский М.Р., Юдович В.И. Об уравнениях стационарной конвекции. *ПММ*, 1963, т. 27, № 2, с. 295–300.
- [3] Гершуни Г.З., Жуховицкий Е.М. *Конвективная устойчивость несжимаемой жидкости*. Москва, Наука, 1972, 392 с.
- [4] Пылаев А.М. Задача о критических конвективных движениях в горизонтально-цилиндрических полостях. *Изв. РАН, МЖГ*, 2005, № 3, с. 14–24.
- [5] Канторович Л.В., Крылов В.И. *Приближенные методы высшего анализа*. Москва; Ленинград, ГИТТЛ, 1950, 696 с.
- [6] Жуховицкий Е.М. Применение метода Галёркина к задаче об устойчивости неравномерно нагретой жидкости. *ПММ*, 1954, т. 18, № 2, с. 205.
- [7] Sherman M. Onset of Thermal Instability in a Horizontal Cirkular Cylinder. *Phys. Fluids*, 1966, vol. 9, no. 11, 2095 p.
- [8] Жуховицкий Е.М. Об устойчивости неравномерно нагретой жидкости в шаровой полости. *ПММ*, 1957, т. 21, № 5, с. 689.
- [9] Sherman M. Toroidal and Poloidal Field Representation for Convective Flow within a Sphere. *Phis. Fluids*, 1968, vol. 11, no. 9, 1895 p.
- [10] Овчинников А.П., Шайдуров Г.Ф. Конвективная устойчивость однородной жидкости в шаровой полости. *Уч. зап. Пермск. ун-та. Сер. Гидродинамика*, 1968, № 184, вып. 1, 3.
- [11] Пылаев А.М., Диев М.Д. Анализ устойчивости равновесия жидкости в полостях прямоугольного сечения. *Тр. Четвертой Рос. нац. конф. по теплообмену*. Москва, Изд-во МЭИ, 2006 (Свободная конвекция, т. 3).

Статья поступила в редакцию 21.06.2013

Ссылку на эту статью просим оформлять следующим образом:

Пылаев А.М. Решение внутренней задачи о возникновении естественной конвекции жидкости. *Инженерный журнал: наука и инновации*, 2013, вып. 5.

URL: <http://engjournal.ru/catalog/machin/crigen/718.html>

**Пылаев Анатолий Михайлович** родился в 1936 г., окончил Московский энергетический институт в 1960 г. и в 1965 г. МГУ им. М.В. Ломоносова. Канд. техн. наук, доцент кафедры «Теплофизика» МГТУ им. Н.Э. Баумана. Автор и соавтор 96 публикаций по разделам теории тепломассообмена, термодинамики, механики жидкости и газа. e-mail: [olgapylaeva@yandex.ru](mailto:olgapylaeva@yandex.ru)